

## Notas 5: Não-determinismo

*Autor: João Ribeiro*

## Introdução

Nestas notas introduzimos “não-determinismo”, um dos conceitos mais importantes na teoria da computação. Exploramos o poder deste conceito no contexto dos autómatos finitos e discutimos um pouco as suas manifestações noutras regiões da teoria da computação.

### 5.1 Autómatos Finitos Não-Deterministas

Nas notas anteriores explorámos o conceito de AFD, que em cada estado pode apenas escolher uma direcção baseado no símbolo que lê nesse momento. Vamos agora explorar o caso mais geral de autómatos *não-deterministas*. Em suma, estes autómatos podem escolher entre várias transições para o mesmo símbolo a partir de um estado. Enquanto que num AFD o próximo estado é completamente determinado pelo estado actual e o símbolo lido, este não é necessariamente o caso para um autómato finito não-determinista (AFN). Começamos com um exemplo de um AFN simples:

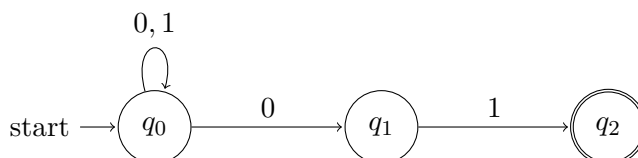


Figure 5.1: Diagrama de estados de um AFN.

Na **Figura 5.1**, o estado  $q_0$  tem duas transições-0 – uma para  $q_0$  e outra para  $q_1$ . Isto não seria permitido no modelo dos AFDs. Intuitivamente, um AFN comporta-se de forma semelhante a um AFD, excepto que quando se encontra num estado  $q$  e lê um símbolo  $s$  para o qual existe mais do que uma transição definidas, cria vários “universos paralelos” em que segue cada uma das transições possíveis. Na **Figura 5.1**, isto acontece quando o AFN se encontra no estado  $q_0$  e lê um 0. O AFN aceita um dado input se este for aceite em pelo menos um destes universos paralelos. No caso da **Figura 5.1**, o AFN reconhece a linguagem das strings binárias que acabam em 01, pois as únicas sequências de estados válidas que terminam num estado de aceitação (o estado  $q_2$ ) são da forma  $(q_0, q_0, \dots, q_0, q_1, q_2)$ . Para transitarmos de  $q_0$  para  $q_1$  precisamos de ler um 0, e para transitarmos de  $q_1$  para  $q_2$  precisamos de ler um 1, após o qual não podemos ler mais símbolos. Por vezes também é útil interpretar a computação deste AFN da seguinte forma: O AFN consegue adivinhar quando faltam apenas dois símbolos para terminar o input, e nesse caso testa se estes são iguais a 01.

Outra propriedade importante dos AFNs que difere dos AFDs é que os AFNs permitem “transições- $\varepsilon$ ”, isto é, transições que não consomem símbolos do input, tal como no exemplo abaixo.

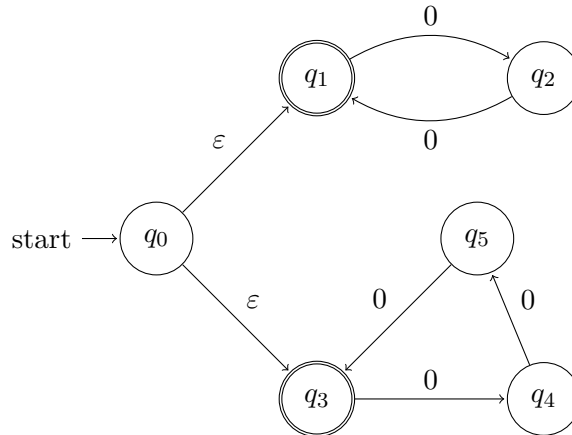


Figure 5.2: Diagrama de estados de um AFN com transições- $\varepsilon$ .

O AFN da Figura 5.2 aceita as strings de 0s de tamanho divisível por 2 ou 3.<sup>1</sup> Quando a computação começa no estado  $q_0$ , o AFN divide-se em duas cópias. A primeira cópia segue a transição- $\varepsilon$  para  $q_1$  e a segunda cópia segue a transição- $\varepsilon$  para  $q_3$ . Nenhuma destas transições consome símbolos do input. De seguida cada uma das cópias lê o input. Se o tamanho do input for divisível por 2, a primeira cópia aceita. Se o tamanho do input for divisível por 3, a segunda cópia aceita. Podemos também pensar de outra forma: o AFN primeiro adivinha se o input vai ter tamanho divisível por 2 ou por 3, e escolhe a direcção certa no estado inicial.

**Nota 1** O conceito de AFN não é um modelo de computação realista. No entanto, veremos em breve que é um conceito extremamente versátil para raciocinar sobre linguagens regulares e outros objectos. Esta utilidade do não-determinismo estende-se a muitas outras regiões da teoria da computação.

### 5.1.1 Definição formal de AFN

A definição formal de um AFN é semelhante à de um AFD, com a excepção da função de transição  $\delta$ . Enquanto que para um AFD a função  $\delta$  mapeia um estado e um símbolo para um novo estado, no caso dos AFNs a função  $\delta$  mapeia um estado e um símbolo para um *conjunto de estados*, representando as várias transições pelo mesmo símbolo, e também está definida para o novo “símbolo”  $\varepsilon$ .

**Definição 5.1 (Autómato finito não-determinista)** Um AFN é um tuplo  $M = (S, \Sigma, \delta, s, F)$  onde:

- $S$  é o conjunto de estados;

<sup>1</sup>É instrutivo tentar descrever um AFD que reconhece esta linguagem.

- $\Sigma$  é o alfabeto;
- $\delta : S \times (\Sigma \cup \{\varepsilon\}) \rightarrow \mathcal{P}(S)$  é a função de transição, onde relembramos que  $\mathcal{P}(S)$  é o conjunto de todos os subconjuntos de  $S$ ;
- $s \in S$  é o estado inicial;
- $F \subseteq S$  é o conjunto de estados finais ou de aceitação.

Todo o AFD é também um AFN. No entanto, a implicação contrária não é verdade – existem AFNs que não são AFDs.

**Definição 5.2 (Sequência de estados gerada por input e aceitação)** *Seja  $M = (S, \Sigma, \delta, s, F)$  um AFN e  $w \in \Sigma^*$ . Dizemos que  $(r_0, r_1, \dots, r_n)$  é uma sequência de estados de  $M$  gerada por  $w$  se podemos escrever  $w = y_1 y_2 \dots y_m$  para algum  $m \in \mathbb{N}$  com  $y_i \in \Sigma \cup \{\varepsilon\}$  para cada  $i \in \{1, \dots, m\}$  e as seguintes condições se verificam:*

1.  $r_0 = s$ ;
2.  $r_{i+1} \in \delta(r_i, y_{i+1})$  para todo  $i \in \{0, 1, \dots, m-1\}$ .

*Dizemos que  $w$  é aceite por  $M$  se existir uma sequência de estados  $(r_0, r_1, \dots, r_m)$  de  $M$  gerada por  $w$  tal que  $r_m \in F$ . Denotamos a linguagem das strings  $w$  aceites por  $M$  por  $L(M)$ .*

Ao contrário do que acontece com AFDs, podem existir várias sequências de estados de um AFN geradas pelo mesmo input  $w$ .

Vamos definir formalmente os AFNs das Figuras 5.1 and 5.2. O AFN da Figura 5.1 corresponde ao tuplo  $M = (S, \Sigma, \delta, s, F)$  com  $S = \{q_0, q_1, q_2\}$ ,  $\Sigma = \{0, 1\}$ ,  $s = q_0$ ,  $F = \{q_2\}$ , e  $\delta : S \times (\Sigma \cup \{\varepsilon\}) \rightarrow \mathcal{P}(S)$  dada pela tabela

$\delta$	0	1
$q_0$	$\{q_0, q_1\}$	$q_0$
$q_1$	$\perp$	$q_2$
$q_2$	$\perp$	$\perp$

Consideremos o input  $w = 0001$ . Existem várias sequências de estados de  $M$  geradas por  $w$ , incluindo uma tal sequência que termina num estado final de  $M$ , o que mostra que  $M$  aceita  $w$ . Exemplos destas sequências incluem  $(q_0, q_0, q_0, q_1, q_2)$ , que termina num estado final, e  $(q_0, q_0, q_1, \perp)$ , que aborta e rejeita pois não existe nenhuma transição-0 a partir de  $q_1$ .

O AFN da Figura 5.2 corresponde ao tuplo  $N = (S, \Sigma, \delta, s, F)$  com  $S = \{q_0, q_1, \dots, q_5\}$ ,  $\Sigma = \{0\}$ ,  $s = q_0$ ,  $F = \{q_1, q_3\}$ , e  $\delta$  definida pela tabela

$\delta$	$\varepsilon$	0
$q_0$	$\{q_1, q_3\}$	$\perp$
$q_1$	$\perp$	$q_2$
$q_2$	$\perp$	$q_1$
$q_3$	$\perp$	$q_4$
$q_4$	$\perp$	$q_5$
$q_5$	$\perp$	$q_3$

No input  $w = 000000$ , existem várias sequências de estados de  $N$  geradas por  $w$  que terminam num estado final de  $N$ . Por exemplo, tanto  $(q_0, q_1, q_2, q_1, q_2, q_1, q_2, q_1)$  e  $(q_0, q_3, q_4, q_5, q_3, q_4, q_5, q_3)$  são sequências de estados de  $N$  geradas por  $w$  que terminam num estado final, resultantes de escrevermos  $w = \varepsilon 000000$ . Concluimos, em particular, que  $N$  aceita  $w$ . A primeira sequência é gerada escolhendo a transição- $\varepsilon$  de  $q_0$  para  $q_1$ , enquanto que a segunda sequência é gerada escolhendo a transição- $\varepsilon$  de  $q_0$  para  $q_3$ .

## 5.2 Equivalência de AFNs e AFDs

Um AFN parece, à primeira vista, ser uma máquina muito mais poderosa do que um AFD. Surpreendentemente, no contexto do reconhecimento de linguagens, AFNs e AFDs são equivalentes! Por outras palavras, para qualquer linguagem reconhecida por um AFN existe também um AFD que a reconhece. Em particular, isto quer dizer que para mostrar que uma linguagem  $L$  é regular basta descrever um AFN  $M$  tal que  $L = L(M)$ , uma tarefa por vezes muito mais fácil do que construir um AFD.

**Teorema 5.1** *Seja  $M$  um AFN. Então, existe um AFD  $M'$  tal que  $L(M') = L(M)$ . Segue que uma linguagem é regular se e só se existe um AFN  $M$  tal que  $L = L(M)$ .*

A demonstração do **Teorema 5.1** baseia-se numa construção elegante de Rabin-Scott [RS59] (também chamada de construção *powerset*) que transforma um dado AFN qualquer num AFD equivalente, que discutimos de seguida. É de realçar que Rabin e Scott foram galardoados com o conceituado prémio Turing (a mais alta distinção na ciência da computação) em 1976 por este artigo.

### 5.2.1 Determinização de AFNs: A construção de Rabin-Scott

Seja  $L \subseteq \Sigma^*$  uma linguagem e  $M$  um AFN que reconhece  $L$ . A construção de Rabin-Scott transforma o AFN  $M$  num AFD  $M'$  que reconhece  $L$ . A ideia-chave é que os estados de  $M'$  serão *subconjuntos* de estados de  $M$ . Esta ideia permite-nos guardar os estados actuais das várias “cópias” do AFN geradas durante a sua computação apenas com um só estado. Existirá uma transição- $a$  de um subconjunto  $R$  para outro subconjunto  $R'$  se os estados em  $R'$  forem exactamente os estados acessíveis começando em algum estado de  $R$  através de uma transição- $a$  seguida de transições- $\varepsilon$ .

Antes de definirmos o AFD  $M'$  formalmente, precisamos de definir algumas operações sobre conjuntos de estados do AFN  $M = (S, \Sigma, \delta, s, F)$ . Dado um subconjunto de estados  $R \subseteq S$  e um símbolo

$a \in \Sigma$ , definimos o conjunto de estados acessíveis de  $R$  por  $a$  como

$$\text{reach}_a(R) = \{q \in S \mid \text{existe } r \in R \text{ tal que } q \in \delta(r, a)\}.$$

Por palavras,  $\text{reach}_a(R)$  é o conjunto de estados de  $M$  a que conseguimos chegar ao seguir uma transição- $a$  a partir de um estado que pertence a  $R$ . Num AFN também existem transições- $\varepsilon$ . Portanto, também será importante saber, para um dado conjunto de estados  $R$ , que estados são acessíveis a partir deste somente por (potencialmente) múltiplas transições- $\varepsilon$ , que podemos tomar de graça e a que chamamos o fecho- $\varepsilon$  de  $R$ . Mais precisamente, definimos o fecho- $\varepsilon$  de  $R \subseteq S$  como

$$\text{close}_\varepsilon(R) = \{q \in S \mid \text{existe } r \in R \text{ tal que } q \text{ é acessível de } r \text{ por zero ou mais transições-}\varepsilon\}.$$

Em particular, temos sempre  $R \subseteq \text{close}_\varepsilon(R)$ , pois os estados de  $R$  são sempre acessíveis por zero transições- $\varepsilon$  a partir de  $R$ .

Estamos prontos para definir formalmente o AFD  $M' = (S', \Sigma', \delta', s', F')$ :

- Tomamos o conjunto de estados  $S' = \mathcal{P}(S)$ , que corresponde a todos os subconjuntos de estados de  $M$ .
- O alfabeto mantém, i.e.,  $\Sigma' = \Sigma$ .
- O estado inicial de  $M'$  corresponde agora a todos os estados acessíveis a partir do estado inicial  $s$  de  $M$  através de transições- $\varepsilon$ , isto é,  $s' = \text{close}_\varepsilon(\{s\})$ .
- Um estado de  $M'$  (que corresponde a um subconjunto de estados de  $M$ ) é final se este contiver pelo menos um estado final de  $M$ , isto é,

$$F' = \{R \in \mathcal{P}(S) \mid R \cap F \neq \emptyset\}.$$

Intuitivamente, esta definição faz sentido pois um estado de  $M'$  captura todos os estados actuais das cópias do AFN  $M$ , e sabemos que  $M$  aceita um input  $w$  quando pelo menos uma das cópias aceita  $w$  (a computação dessa cópia termina num estado final de  $M$ ).

- Resta definir a função de transição  $\delta' : S' \times \Sigma' \rightarrow S'$ . Intuitivamente, queremos que  $\delta'(R, a)$  consista em todos os estados acessíveis de um estado de  $R$  através de uma transição- $a$  seguida de possíveis transições- $\varepsilon$ , que são de graça. Podemos então definir  $\delta'(R, a)$  à custa das operações  $\text{reach}$  e  $\text{close}$  como

$$\delta'(R, a) = \text{close}_\varepsilon(\text{reach}_a(R)).$$

Quando  $\text{close}_\varepsilon(\text{reach}_a(R)) = \emptyset$  (o que acontece quando  $\text{reach}_a(R) = \emptyset$ ), interpretamos esta situação tal como  $\delta'(R, a) = \perp$ , isto é,  $\delta'$  fica indefinida em  $(R, a)$ .

O leitor poderá convencer-se de que o AFD  $M'$  que descrevemos é equivalente ao AFN  $M$ . Uma demonstração bastante cuidada encontra-se em [LP97, Section 2.2, Theorem 2.2.1]. Também sugerimos a leitura de [Sip13, Section 1.2, Theorem 1.39], que é menos formal mas mais intuitivo.

### 5.2.2 Alguns exemplos de determinização de AFNs

Usamos agora a construção de Rabin-Scott para determinar alguns AFNs.

Começamos pelo AFN da [Figura 5.1](#). O alfabeto do novo AFD  $M'$  é  $\Sigma' = \{0, 1\}$ . O seu estado inicial  $R_0$  é dado por

$$R_0 = \text{close}_\varepsilon(\{q_0\}) = \{q_0\},$$

pois não existem transições- $\varepsilon$  a partir de  $q_0$ . Determinamos agora o conjunto de estados acessíveis por transições-0 e transições-1 a partir de  $R_0$ :

- $\delta'(R_0, 0) = \text{close}_\varepsilon(\text{reach}_0(R_0)) = \text{close}_\varepsilon(\{q_0, q_1\}) = \{q_0, q_1\} = R_1$ .
- $\delta'(R_0, 1) = \text{close}_\varepsilon(\text{reach}_1(R_0)) = \text{close}_\varepsilon(\{q_0\}) = \{q_0\} = R_0$ .

Temos agora um novo conjunto de estados  $R_1$  para analisar:

- $\delta'(R_1, 0) = \text{close}_\varepsilon(\text{reach}_0(\{q_0, q_1\})) = \text{close}_\varepsilon(\{q_0, q_1\}) = \{q_0, q_1\} = R_1$ .
- $\delta'(R_1, 1) = \text{close}_\varepsilon(\text{reach}_1(\{q_0, q_1\})) = \text{close}_\varepsilon(\{q_0, q_2\}) = \{q_0, q_2\} = R_2$ .

Passamos a analisar o novo conjunto de estados  $R_2$ :

- $\delta'(R_2, 0) = \text{close}_\varepsilon(\text{reach}_0(\{q_0, q_2\})) = \text{close}_\varepsilon(\{q_0, q_1\}) = \{q_0, q_1\} = R_1$ .
- $\delta'(R_2, 1) = \text{close}_\varepsilon(\text{reach}_1(\{q_0, q_2\})) = \text{close}_\varepsilon(\{q_0\}) = \{q_0\} = R_0$ .

Como todos os conjuntos a que acedemos já foram analisados, temos toda a informação necessária para descrever o AFD equivalente  $M'$ . Para escrevermos o seu diagrama de estados, resta determinar os estados finais. Como o estado final de  $M$  é  $q_2$ , os estados finais de  $M'$  correspondem a subconjuntos de estados de  $M$  que contêm  $q_2$ . O único estado final é, portanto,  $R_2 = \{q_0, q_2\}$ . O AFD equivalente resultante da construção de Rabin-Scott tem o diagrama de estados abaixo (podemos ignorar os estados criados por Rabin-Scott que não são acessíveis a partir do estado inicial).

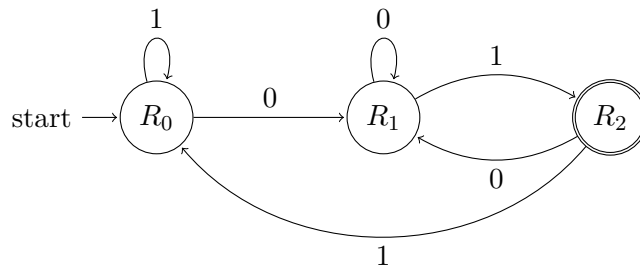


Figure 5.3: Diagrama de estados de AFD obtido por aplicação da construção de Rabin-Scott ao AFN da [Figura 5.1](#).

Este AFD pode ser descrito formalmente pelo tuplo  $M' = (S', \Sigma', \delta', s', F')$  com  $S' = \{R_0, R_1, R_2\}$ ,  $\Sigma' = \{0, 1\}$ ,  $s' = R_0$ ,  $F' = \{R_2\}$ , e  $\delta$  dada pela tabela

$\delta$	0	1
$R_0$	$R_1$	$R_0$
$R_1$	$R_1$	$R_2$
$R_2$	$R_1$	$R_0$

Determinizamos agora o AFN da **Figura 5.2**. O alfabeto do novo AFD é  $\Sigma' = \{0\}$ . O seu estado inicial  $R_0$  corresponde a

$$R_0 = \text{close}_\varepsilon(\{q_0\}) = \{q_0, q_1, q_3\}.$$

Determinamos agora as várias transições. Continuamos a análise até pararmos de gerar novos conjuntos de estados:

- $\delta'(R_0, 0) = \text{close}_\varepsilon(\text{reach}_0(\{q_0, q_1, q_3\})) = \text{close}_\varepsilon(\{q_2, q_4\}) = \{q_2, q_4\} = R_1.$
- $\delta'(R_1, 0) = \text{close}_\varepsilon(\text{reach}_0(\{q_2, q_4\})) = \text{close}_\varepsilon(\{q_1, q_5\}) = \{q_1, q_5\} = R_2.$
- $\delta'(R_2, 0) = \text{close}_\varepsilon(\text{reach}_0(\{q_1, q_5\})) = \text{close}_\varepsilon(\{q_2, q_3\}) = \{q_2, q_3\} = R_3.$
- $\delta'(R_3, 0) = \text{close}_\varepsilon(\text{reach}_0(\{q_2, q_3\})) = \text{close}_\varepsilon(\{q_1, q_4\}) = \{q_1, q_4\} = R_4.$
- $\delta'(R_4, 0) = \text{close}_\varepsilon(\text{reach}_0(\{q_1, q_4\})) = \text{close}_\varepsilon(\{q_2, q_5\}) = \{q_2, q_5\} = R_5.$
- $\delta'(R_5, 0) = \text{close}_\varepsilon(\text{reach}_0(\{q_2, q_5\})) = \text{close}_\varepsilon(\{q_1, q_3\}) = \{q_1, q_3\} = R_6.$
- $\delta'(R_6, 0) = \text{close}_\varepsilon(\text{reach}_0(\{q_1, q_3\})) = \text{close}_\varepsilon(\{q_2, q_4\}) = \{q_2, q_4\} = R_1.$

Os novos estados finais correspondem a conjuntos de estados do AFN que contêm estados finais – são finais, portanto,  $R_0$ ,  $R_2$ ,  $R_3$ ,  $R_4$ , e  $R_6$ . O diagrama de estados do AFD resultante segue abaixo.

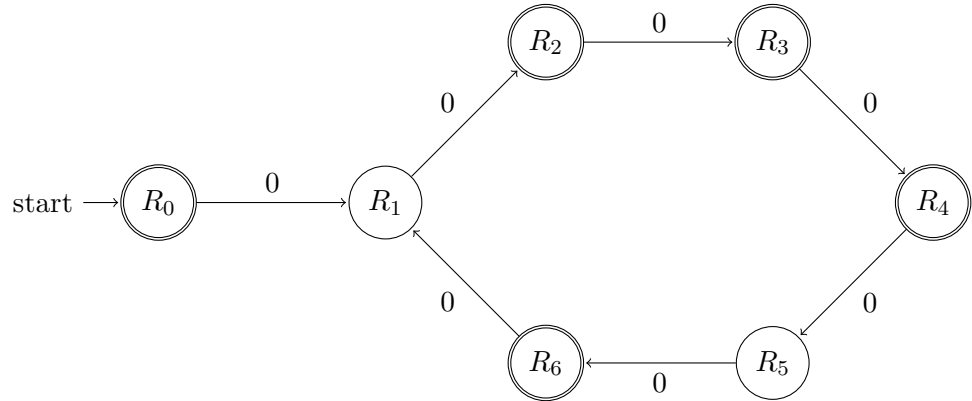


Figure 5.4: Diagrama de estados de AFD obtido por aplicação da construção de Rabin-Scott ao AFN da **Figura 5.2**.

### 5.2.3 Número de estados de AFNs e AFDs equivalentes

A construção de Rabin-Scott aplicada a um AFN com  $k$  estados resulta num AFD equivalente com  $2^k$  estados.<sup>2</sup> Posto de outra forma, o AFD equivalente que obtemos requer exponencialmente mais memória para reconhecer a mesma linguagem do que o AFN original.

Enquanto teóricos da computação, é natural questionarmos se este aumento exponencial de memória é mesmo necessário. Talvez seja sempre possível construir um AFD equivalente com  $k' \approx k$  estados! Infelizmente, este não é o caso. Sabemos já há muito tempo [Lup63] (o artigo relacionado de Moore [Moo71] poderá ser mais fácil de aceder) que para cada  $k \in \mathbb{N}$  existe um AFN com  $k$  estados tal que qualquer AFD equivalente tem  $2^k$  estados. Isto mostra que a construção de Rabin-Scott é ótima no pior-caso!

Um exemplo simples que fica muito próximo deste resultado é, para qualquer  $k \in \mathbb{N}$ , a linguagem  $L_k$  sobre  $\{0, 1\}$  dada por

$$L_k = \{w \in \{0, 1\}^* \mid |w| \geq k \wedge w_{|w|-k+1} = 1\},$$

ou seja, a linguagem das strings binárias de tamanho pelo menos  $k$  cujo  $k$ -ésimo símbolo a contar do fim é 1. Existe um AFN com  $k + 1$  estados que reconhece  $L_k$  (um bom exercício para o leitor), enquanto que qualquer AFD equivalente requer pelo menos  $2^k$  estados (intuitivamente, um para cada sufixo de tamanho  $k$  do input).

## 5.3 Propriedades de linguagens regulares através de AFNs

Em vários casos, é muito mais fácil descrever um AFN que reconhece uma dada linguagem do que um AFD. Mais ainda, quando queremos apenas mostrar que a linguagem é regular, vimos acima (construção de Rabin-Scott) que basta desenhar um AFN para essa linguagem. Nesta secção, veremos a grande utilidade deste resultado ao estabelecermos facilmente várias propriedades de linguagens regulares com que tivemos problemas nas notas anteriores através de AFNs.

Começamos por visitar a união de duas linguagens regulares com uma demonstração um pouco mais intuitiva.

**Teorema 5.2** *Sejam  $A$  e  $B$  linguagens regulares. Então,  $A \cup B$  também é regular.*

**Demonstração:** Sejam  $M_A$  e  $M_B$  AFDs que reconhecem  $A$  e  $B$ , respectivamente. Pelo Teorema 5.1, para mostrarmos que  $A \cup B$  é regular basta construir um AFN  $M'$  que reconhece  $A \cup B$ .

Tal AFN  $M'$  é fácil de construir. Providenciamos uma descrição informal mas clara: O estado inicial de  $M'$  é ligado por transições- $\varepsilon$  aos estados iniciais de  $M_A$  e  $M_B$ , e os estados finais de  $M'$  são os estados finais de  $M_A$  e  $M_B$ . Esta construção é ilustrada na Figura 5.5.

Intuitivamente, dado um input  $w$ , o AFN  $M'$  primeiro adivinha se deve testar “ $w \in A$ ” ou “ $w \in B$ ” seguindo a transição- $\varepsilon$  apropriada, e depois corre o AFD relevante em  $w$ . ■

<sup>2</sup>Recordamos que  $|\mathcal{P}(S)| = 2^{|S|}$ .



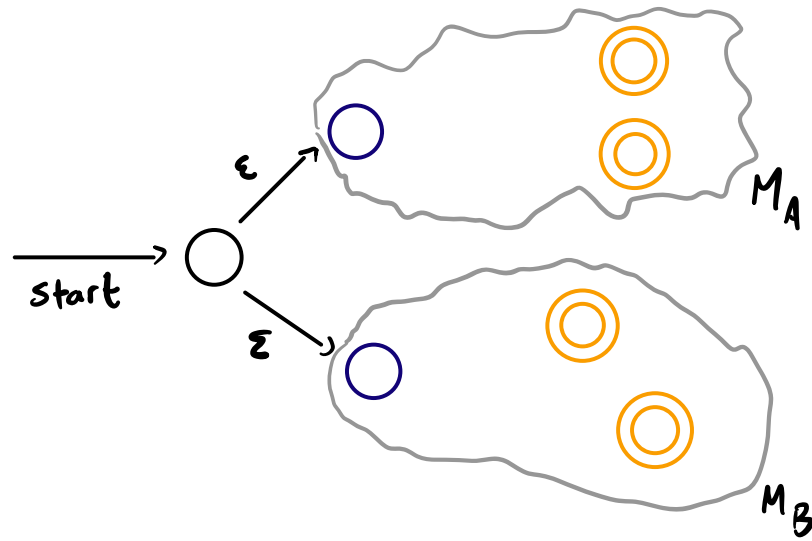


Figure 5.5: Ilustração do AFN que reconhece a união  $A \cup B$  de linguagens regulares  $A$  e  $B$ . Os AFDs  $M_A$  e  $M_B$  reconhecem  $A$  e  $B$ , respectivamente. Os círculos azuis representam os estados iniciais originais de cada AFD, e os círculos laranjas os estados finais originais de cada AFD.

Passamos agora para a concatenação de linguagens regulares, algo que não tínhamos conseguido analisar anteriormente.

**Teorema 5.3** *Sejam  $A$  e  $B$  linguagens regulares. Então,  $A \circ B$  também é regular.*

**Demonstração:** Sejam  $M_A$  e  $M_B$  AFDs que reconhecem  $A$  e  $B$ , respectivamente. Pelo [Teorema 5.1](#), para mostrarmos que  $A \circ B$  é regular basta construir um AFN  $M'$  que reconhece  $A \circ B$ .

Providenciamos uma descrição informal mas clara de  $M'$ : O estado inicial de  $M'$  corresponde ao estado inicial de  $M_A$ . A cada estado final de  $M_A$  acrescentamos uma transição- $\epsilon$  para o estado inicial de  $M_B$ . Os estados finais de  $M'$  são os estados finais de  $M_B$ . Esta construção é ilustrada na [Figura 5.6](#).

Intuitivamente, dado um input  $w$ , o AFN  $M'$  adivinha o tamanho de  $x$  e  $y$  tal que  $w = x \circ y$  com  $x \in A$  e  $y \in B$  (caso existam), corre  $M_A$  em  $x$  e depois segue a transição- $\epsilon$  para saltar para o estado inicial de  $M_B$  e correr  $y$  em  $M_B$ . ■

Passamos agora para o fecho de Kleene de uma linguagem regular, algo que também não tínhamos conseguido analisar.

**Teorema 5.4** *Seja  $A$  uma linguagem regular. Então,  $A^*$  também é regular.*

**Demonstração:** Seja  $M_A$  um AFD que reconhece  $A$ . Pelo [Teorema 5.1](#), para mostrarmos que  $A^*$  é regular basta construir um AFN  $M'$  que reconhece  $A^*$ .

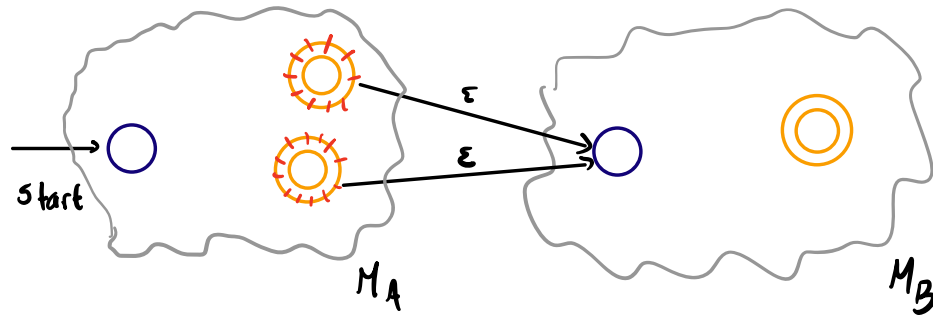


Figure 5.6: Ilustração do AFN que reconhece a concatenação  $A \circ B$  de linguagens regulares  $A$  e  $B$ . Os AFDs  $M_A$  e  $M_B$  reconhecem  $A$  e  $B$ , respectivamente. Os círculos azuis representam os estados iniciais originais de cada AFD, e os círculos laranjas os estados finais originais de cada AFD. As riscas vermelhas mostram que estados deixam de ser finais no AFN.

Providenciamos uma descrição informal mas clara de  $M'$ : Ligamos o novo estado inicial de  $M'$  por transição- $\varepsilon$  ao estado inicial de  $M_A$ . Cada estado final de  $M_A$  é ligado ao novo estado inicial de  $M'$  por uma transição- $\varepsilon$ . O único estado final de  $M'$  é o seu estado inicial. Esta construção é ilustrada na [Figura 5.7](#).

Intuitivamente, dado um input  $w$ , o AFN  $M'$  adivinha uma partição de  $w$  como  $w = x^{(1)} \circ x^{(2)} \circ \dots \circ x^{(m)}$  com cada  $x^{(i)} \in A$ , para algum  $m \in \mathbb{N}$  (caso exista, e notamos que podemos ter  $m = 0$  quando  $w = \varepsilon$ ). Depois,  $M'$  corre  $M_A$  em  $x^{(1)}$ , após o qual segue as transições- $\varepsilon$  de volta para o estado inicial de  $M_A$  para correr  $M_A$  em  $x^{(2)}$ , e por aí em diante. ■

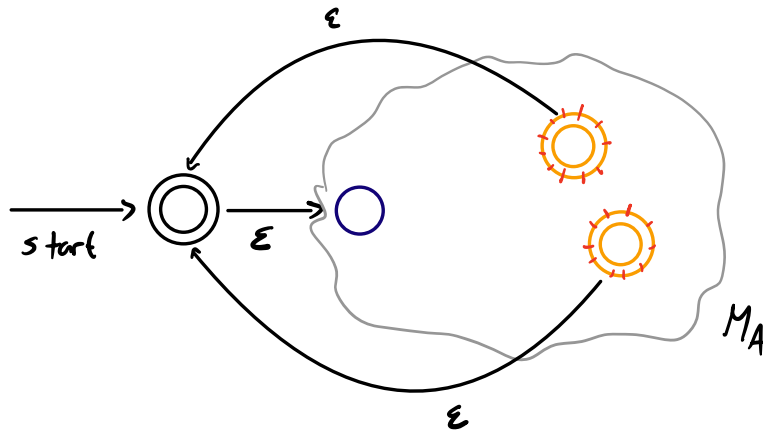


Figure 5.7: Ilustração do AFN que reconhece o fecho de Kleene  $A^*$  de uma linguagem regular  $A$ . O AFD  $M_A$  reconhece  $A$ . O círculo azul representa o estado inicial de  $M_A$ , e os círculos laranjas os estados finais de  $M_A$ . As riscas vermelhas mostram que estados deixam de ser finais no AFN.

## 5.4 O não-determinismo na teoria da computação

A noção de não-determinismo é extremamente importante não só no contexto da teoria de autómatos, mas também em muitos outros ramos da teoria da computação. Como mencionámos acima, Rabin e Scott receberam o prémio Turing pela introdução do não-determinismo [RS59]. Em particular, o não-determinismo aparece também de forma prominente no que é normalmente tido como o maior problema em aberto na ciência da computação: O problema P vs. NP, cuja solução acarreta um prémio de um milhão de dólares pelo Clay Mathematics Institute<sup>3</sup>.

De forma muito informal, o problema P vs. NP prende-se com a relação entre máquinas de Turing (um importante modelo de computação que estudaremos mais tarde nesta cadeira) determinísticas e não-determinísticas. A classe P (de “polynomial time”) corresponde às linguagens que são reconhecidas de forma “eficiente” por máquinas de Turing determinísticas, enquanto que a classe NP (de “non-deterministic polynomial time”) corresponde às linguagens que são reconhecidas de forma “eficiente” por máquinas de Turing não-determinísticas. Estas noções correspondem à “complexidade computacional” de reconhecer uma linguagem, algo com que terão mais contacto noutras cadeiras. Na presente cadeira focamo-nos na noção de “computabilidade” – queremos saber se uma linguagem é reconhecível num dado modelo de computação, sem nos preocuparmos com a eficiência da máquina que a reconhece.

O problema P vs. NP pergunta se  $P = NP$ ; a grande parte dos teóricos da computação acredita que  $P \neq NP$ . Esta conjectura é, por exemplo, um ingrediente imprescindível para muitos avanços fundamentais em criptografia. Se o leitor tiver curiosidade, recomendamos a leitura de [LP97, Chapter 6], [Sip13, Chapter 7], e do excelente livro de Arora e Barak [AB09].

## 5.5 Para explorar

O artigo original de Rabin e Scott [RS59] (disponível, por exemplo, [aqui](#)) é uma janela interessante para os primórdios da teoria da computação. Neste [curto vídeo](#), Rabin fala um pouco sobre esse trabalho. [Este artigo da Wikipedia](#) coleciona muitas referências sobre o número de estados de vários tipos de autómatos equivalentes.

Recomendamos também a exploração dos [Millenium Prize Problems](#) do Clay Mathematics Institute, bem como dos recipientes dos prémios [Turing](#) e [Gödel](#).

## References

- [AB09] Sanjeev Arora and Boaz Barak. *Computational Complexity: A Modern Approach*. Cambridge University Press, 2009. Draft available at <https://theory.cs.princeton.edu/complexity/>.

---

<sup>3</sup>Existem, certamente, formas mais fáceis de ganhar um milhão de dólares – mas não tão divertidas!

- [LP97] Harry R. Lewis and Christos H. Papadimitriou. *Elements of the Theory of Computation*. Prentice Hall PTR, USA, 2nd edition, 1997.
- [Lup63] Oleg B. Lupanov. A comparison of two types of finite sources. *Problemy Kibernetiki*, 9:321–326, 1963.
- [Moo71] Frank R. Moore. On the bounds for state-set size in the proofs of equivalence between deterministic, nondeterministic, and two-way finite automata. *IEEE Transactions on Computers*, C-20(10):1211–1214, 1971.
- [RS59] Michael O. Rabin and Dana Scott. Finite automata and their decision problems. *IBM Journal of Research and Development*, 3(2):114–125, 1959.
- [Sip13] Michael Sipser. *Introduction to the Theory of Computation*. CEngage Learning, 3rd edition, 2013.